

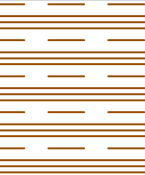
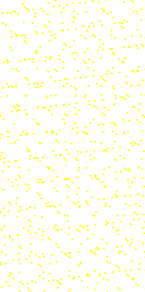
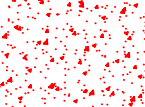


Stratygrafia		Profil litologiczny	Opis litologiczno-genetyczny	Nr warstwy geotechnicznej	Symbol gruntu PN-86/B-02480	Symbol gruntu PN+EN ISO 14688	Stan gruntu		Wilgotność naturalna w <sub>n</sub> %	Gęstość objętościowa ρ <sub>n</sub> g/cm <sup>3</sup>	Spójność wg TXCU/aparat skrzynkowy c kPa	Kąt tarcia wewnętrznego wg TXCU/aparat skrzynkowy φ °	Efektywna spójność wg TXCU c' kPa	Efektywny kąt tarcia wewnętrznego wg TXCU/CPTu φ' °	Edometryczny moduł ściśliwości PKN-CEN ISO/TS 17892-5:2009 cz. 5			Edometryczny moduł ściśliwości wg DMT E <sub>oed</sub> MPa	Wytrzymałość na ściskanie wg DMT q <sub>u</sub> kPa	Wytrzymałość na ściskanie sondą FVT/VANE f <sub>max</sub> kPa	Edometryczny moduł ściśliwości wg CPTu E <sub>oed</sub> MPa	Wytrzymałość na ściskanie wg CPTu q <sub>u</sub> kPa	Współczynnik filtracji w edometrze k <sub>h</sub> m/s	Zawartość części organicznych I <sub>on</sub> %
							I <sub>b</sub> stopień zagęszczenia	I <sub>L</sub> stopień plastyczności							zakres naprężeń MPa	p <sub>ierwotnej</sub> MPa	w <sub>róbnej</sub> MPa							
CZWARTORZĘD	HOLOCEN		Osady akumulacji rzecznej i bagiennej	Ia	T	Or	-	-	524,3	1,10	6,72 ±1,33	3,98 ±1,02	8,42 ±1,08	5,33 ±1,14	0,1-0,2	0,94 ±0,60	3,20 ±1,00	1,06 ±0,05	7,42 ±0,28	10,89 ±1,30	0,09 ±0,01	6,98 ±0,25	6,6E-05	62,1
		Ib		Nm, Gy, Kr	Or	-	0,63 ±0,01	174,7	1,48	8,1 ±2,93	6,9 ±2,41	10,9 ±2,54	7,78 ±1,26	0,1-0,2	2,30 ±0,85	7,41 ±2,21	0,86 ±0,06	3,37 ±0,61	10,82 ±3,19	0,60 ±0,03	7,85 ±0,78	3,2E-07	11,7	
			Osady deluwialne	IIa	G, Gz, Gπ, Gp, Gpz, Pg, π, πp	clSi, clsaSi, sisaCl, clSa, Si, saSi	-	0,55 ±0,01	27,0	1,95	7,5 ±0,75	9,0 ±0,90	-	-	-	-	-	-	-	-	4,09 ±0,35	26,81 ±2,53	-	1,48
				IIb			-	0,34 ±0,01	24,0	1,92	19,2 ±2,43	18,1 ±1,75	-	-	0,1-0,2	14,3 ±1,16	31,8 ±4,68	-	-	-	9,82 ±0,27	67,80 ±1,93	-	2,02
				IIc			-	0,18 ±0,01	18,5	2,03	17,8 ±1,78	15,1 ±1,51	-	-	-	-	-	-	-	29,63 ±1,40	209,0 ±9,99	-	2,62	
			Osady lodowcowe	IIIa	G, Gz, Gπ, Gp, Gpz, Gπz, Pg, π, πp	clSi, clsaSi, sisaCl, clSa, Si, saSi	-	0,54 ±0,01	26,1	1,93	20,0 ±2,41	24,5 ±3,43	20,0 ±3,16	37,69 ±3,58	0,1-0,2	6,24 ±1,54	20,7 ±4,21	-	-	-	-	4,47 ±0,09	39,34 ±0,91	7,4E-08
	IIIb			-			0,34 ±0,01	24,4	1,99	16,3 ±7,68	21,0 ±6,40	-	-	0,1-0,2	12,8 ±4,20	33,8 ±6,81	-	-	-	9,82 ±0,10	87,69 ±0,96	2,5E-08	-	
	IIIc			-			0,17 ±0,01	19,4	2,01	34,9 ±7,52	23,5 ±4,69	-	-	-	-	-	-	33,66 ±0,27	308,9 ±2,64	4,2E-08	-			
	HOLOCEN/PLEJSTOCEN		Utwory akumulacji rzecznej	IVa	Pπ, Pd, Ps, Pr //Pg, +Ż, +K	siSa, FSa, MSa, CSa	0,24 ±0,01	-	12,0 nW	1,70 1,85	-	-	-	30,62 ±0,06	-	-	-	-	-	-	15,35 ±0,16	-	-	-
				IVb			0,43 ±0,01	-	10,5 nW	1,70 1,95	-	-	-	34,39 ±0,03	-	-	-	-	-	-	29,34 ±0,17	-	-	-
				IVc			0,57 ±0,01	-	10,0 nW	1,75 1,95	-	-	-	36,99 ±0,04	-	-	-	-	-	-	41,29 ±0,18	-	-	-
				IVd			0,71 ±0,01	-	9,5 nW	1,80 2,00	-	-	-	39,75 ±0,03	-	-	-	-	-	-	55,34 ±0,16	-	-	-
				IVe			0,84 ±0,01	-	9,0 nW	1,85 2,05	-	-	-	42,19 ±0,03	-	-	-	-	-	-	73,82 ±0,23	-	-	-
			Utwory wodnolodolodowcowe, stożków napływowych, ozów	Va	Po, Ż	FGr, MGr, CGr	0,52 ±0,10	-	8,5 nW	1,80 2,05	-	-	-	38,6 ±2,49	-	-	-	-	-	-	35,68 ±8,38	-	-	-
				Vb			0,74 ±0,15	-	8,0 nW	1,95 2,10	-	-	-	40,29 ±2,78	-	-	-	-	-	-	62,22 ±18,31	-	-	-